

第二次真空測試會議 論文集

(内部資料・注意保密)

1962年8月

前　　言

自从大跃进以来，我国真空技术工作发展很快，许多方面都利用真空技术。但是由于大家都是真空技术的新手，工作质量往往不能达到要求，要鉴定真空技术工作质量首先必须有足够精确的真程度的测量方法，而真空的气压值很小，是比较难测的，因此必须在全国真空技术工作者的大协作下，在短期内使真空测试技术达到应有的水平。为了促进这些协作，召开了真空测试会议。

62年初利用第二次真空测试会议的机会我们报告和讨论了一些有关真空技术的测量问题。由于感到这方面的文献（尤其是中文文献）很少，大家都提出要求，希望赶快把这些文献印出来，以便更好地交流经验，共同改进提高。基于这些要求，我们便出版了这个文集。因为讨论的时间很不充裕，会议未能对这些文章作出评价，因此这些文章只能作为参考之用，不是为了推广或者作为教材之用。希望读者读后提出宝贵的意见和批评。

目 录

前言

(一) 絶對真空計和真空計校正系統。

1. 同軸圓筒形輻射真空規的絕對性 黃慕賢, 李志岩, 潘震明 (1)
2. 膨脹式低真空計校正系統 金建中, 王學博, 張希雄, 陳立仁, 李旺奎 (7)

(二) 相對真空計

3. 我校電離計之介紹 陸家和, 馬瑞霖 (9)
4. 可用焦耳熱除氣的超高真空電離真空規 华中一, 黃心沅, 章壯健 (22)
5. 热絲真空計測量線路的一點改進 徐欽勇 (27)

(三) 真空泵參數測定

6. 國外扩散泵抽氣速率測定方法評介 李希寧 (29)
7. 扩散泵参数測試規程 (草案) 陳文奎 (39)
8. 空氣冷卻金屬油扩散泵的研究 金建中, 崔遂先, 徐欽勇, 郭盛厚, 趙樹蘇, 李希寧 (46)
9. 鈦抽氣機及其性能的測定 劉鴻輝, 張兆祥 (54)

(四) 油蒸氣壓測定和汞毒防護

10. 真空油脂蒸氣壓測定方法文獻評介 張晏清 (57)
11. 扩散泵油蒸氣壓測量儀的初步報告 金建中, 戴善述, 張景欽 (73)
12. 真空實驗室中對汞毒的防護 程傳歲 (75)

1. 同軸圓筒形輻射真空規的絕對性*

黃慕賢 李志岩 潘震明

提要：Klumb-Schwarz⁽⁵⁾提出的同軸圓筒形輻射真空規原則上可以作為低氣壓的絕對量具，然而由於迄今並未有人提出完整的靈敏度理論，因此阻止了它作為絕對量具的可能性。本文敘述一種近似解法，得出靈敏度的絕對值，並從理論上決定其最佳幾何結構。最後還對Klumb-Schwarz規的量程上下限作了討論。

一、引言

在高真空中測量方面，輻射真空規或所謂Knudsen真空規具有特殊的優點：它可以同時測量氣體和蒸氣的總壓強，卻又和氣體或蒸氣的分子量無關；它的工作溫度不高，也不用電場，因此沒有化學清除和電清除效應，測量時不會破壞被測對象，而且能夠連續指示氣壓變化。因此，在所有的真空規中的測量價值是比較高的。

然而最主要的特色還在於它在低壓強時刻度是線性的，而且原則上是一種絕對真空規，即利用它的一些物理量可以直接算出相應的壓強值。Knudsen⁽¹⁾首先得出，如果在真空容器中有兩塊距離為h的無限大的平行平板AB，其溫度各為T₁及T₂，則在h<<容器內氣體分子的平均自由路徑入時，作用在A、B中任何一塊上的單位面積純力f為**：

$$f = \frac{1}{2} P \left(\sqrt{\frac{T_1}{T}} + \sqrt{\frac{T_2}{T}} - 2 \right)$$

達因/厘米² (1)

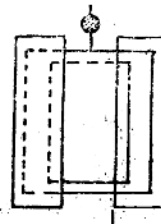
此处P、T分別為容器中氣體的壓強及溫度。當平板中的一塊（假定為B）的溫度就是容器溫度時，式（1）可簡化為（T₁>T）：

$$f = \frac{1}{2} P \left(\sqrt{\frac{T_1}{T}} - 1 \right)$$

達因/厘米² (2)

因此如果能測出f的絕對值，就可算得壓強P（T₁及T為已知）。

f的測定可以用很多方法，最常見的如圖1所示^(3~4)。一塊方框形的鉑片，用石英細絲



(— — —)

圖 1

吊起，上面附有一塊電流計用的小薄鏡子。鉑框的兩側分別有兩塊固定的長條鉑片可以加熱到T₁。從懸吊着的鉑框尺寸和質量可以算出它的轉動慣量I，再用觀察到的迴擺周期t，可以得到單位角位移的回復力矩為

$$t = \frac{4\pi^2 I}{t^2} \quad (3)$$

如果以Q表示鉑框的旋轉角度，則

$$t\theta = f Q D \quad (4)$$

此处D為鉑框的平均寬度，Q為面對每一條鉑片的框面積。因此從式(2)，(3)，(4)可

*本文系作者畢業論文的一部分，在華中一先生的指導下進行。

**以下均假定各平板的適應系數（accommodation coefficient）均相等。

得

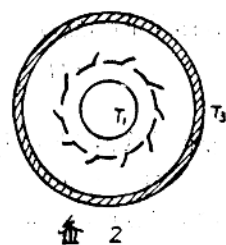
$$P = \frac{2f}{\left(\sqrt{\frac{T_1}{T}} - 1\right)} = \frac{2\tau\theta}{QD\left(\sqrt{\frac{T_1}{T}} - 1\right)} = \frac{8\pi^2 I\theta}{QDt^2\left(\sqrt{\frac{T_1}{T}} - 1\right)} \quad (5)$$

如果以小鏡的反光來測 θ , 以 x 為透明標尺的讀數, l 為標尺到鏡面的距離, 則因 $\theta = \frac{x}{2\pi l}$, 而

$$P = \frac{4\pi Ix}{QDt^2\left(\sqrt{\frac{T_1}{T}} - 1\right)} \text{ 达因/厘米}^2$$
$$= \frac{4\pi Ix}{QDt^2\left(\sqrt{\frac{T_1}{T}} - 1\right)} \times 0.75 \times 10^{-3} \text{ 毛} \quad (6)$$

式中 I 、 D 、 t 、 Q 、 l 都是常數, T_1 、 T 、 x 可以測定, 就可以算得 P 值。

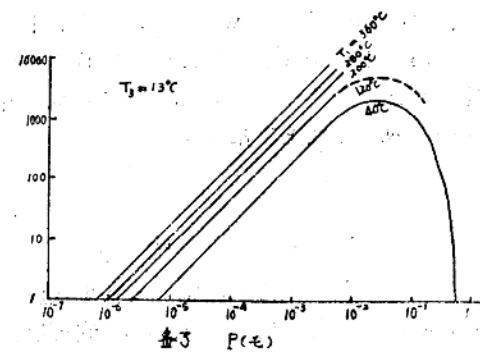
上述結構的主要缺點在於極其害怕振動, 因此Klumb-Schwarz⁽⁵⁾提出了另外一種式樣, 如圖2所示。它把平板改為兩個同心圓筒, 在圓筒的溫度 $T_1 > T_3$ 時, 在兩個圓筒之間運動的氣體分子將傳遞能量, 因此他在它們之間挂一個很輕的鋁製薄圓筒, 上面用刀刻成幾個斜葉窗, 稱為“鋁籠”, 也用吊絲和鏡子挂起來, 這樣作用在葉片上的分子力將使鋁筒轉過一角度 θ , 實驗證明



$$P = \frac{k\theta}{\sqrt{\frac{T_1}{T_3}} - 1} \quad (7)$$

此处 k 为常数。这种装置由于具有对称性, 因此

对于震动是比較不灵敏的; 測量下限可以到达 10^{-8} 毛級, 而且校准曲線在压强 P 小于 10^{-2} 毛的低壓區域內半分綫性(見圖3)。因此在所有的高真空中量具中, 看來它是一種最可期許的型式。



然而不幸的是, Klumb-Schwarz 規的特性方程式 (7) 虽然與式 (5) 十分相似, 但他的 k 是什么迄今尚未有人提出完整的理論推導, 因此限制了它作為絕對量具的可能性。本文敘述一種近似解法並由此對這種規的最佳設計作了討論。

二、同軸圓筒形輻射真空規理論

在討論圖2的結構以前, 可以先了解一下三塊無限大平行平板放置在真空中時其中間一塊的受力情況。圖4表示溫度各為 T_1 、 T_2 、 T_3 的三塊平板A、B、C, 作用在B板單位面積上的力 f 根據式 (1) 应為

$$f_1 = \frac{1}{2} P \left(\sqrt{\frac{T_1}{T}} + \sqrt{\frac{T_2}{T}} - 2 \right) \quad (8)$$

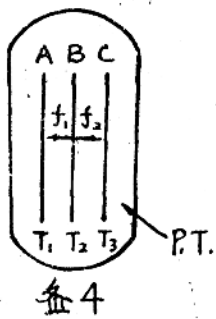
而反方向作用在B板單位面積上的力則為

$$f_2 = \frac{1}{2} P \left(\sqrt{\frac{T_3}{T}} + \sqrt{\frac{T_2}{T}} - 2 \right) \quad (9)$$

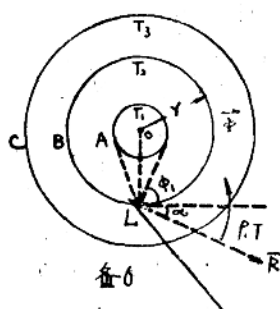
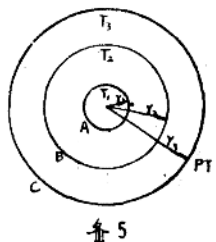
因此作用在B板上的總力為

$$f = f_1 - f_2 = \frac{1}{2} P \left(\sqrt{\frac{T_1}{T}} - \sqrt{\frac{T_3}{T}} \right) \quad (10)$$

而和B板本身的溫度 T_2 无关⁽⁶⁾。如 $T_1 > T_3$, 則B板受到的力必離開A板的方向。



現在將A、B、C卷成半徑不同的同軸圓筒，如圖5所示。如果將B板上刻出斜葉窗，則結果就是圖2。在斜葉窗的面積不大時，Klumb-Schwarz規將近似於這種封閉圓筒的形式。同樣也考慮這些圓筒是無限大的，那麼我們就可以只考慮它垂直於中心軸的截面，如圖6所示。設規受內部的氣體壓強為P、溫度為T，規內氣



體分子總數為N，而且滿足分配定律，則圖6所示的R-φ平面內有 $\frac{2}{3}N$ 個分子在運動，單位時間內分子在dφ方向與B上單位面積元的碰撞次數為

$$\frac{2}{3} n \frac{d\varphi}{2\pi} v \sin \varphi$$

此处n和v为在P, T时的气体分子浓度和方均根速率。

現在在B板上切出小叶片L，和B筒的切綫作α角，則與葉片L碰撞的分子在L的法綫方向的動量分量為

$$\frac{2}{3} n \frac{d\varphi}{2\pi} v \sin \varphi \cdot m v \sin \varphi =$$

$$= \frac{1}{3\pi} m n v^2 \sin^2 \varphi d\varphi$$

此处m为分子質量。如分子和叶片所作的碰撞是完全彈性的則動量的變化為

$$2 \cdot \frac{1}{3\pi} m n v^2 \sin^2 \varphi d\varphi$$

因此L上單位面積所受的力為：

$$\begin{aligned} f &= \frac{2m}{3\pi} \left[\left(n_3 v_3^2 - n_2 v_2^2 \right) \int_0^\alpha \sin^2 \varphi d\varphi \right. \\ &\quad + \left(n_2 v_2^2 - n_3 v_3^2 \right) \int_\alpha^{\alpha+\varphi_1} \sin^2 \varphi d\varphi \\ &\quad + \left(n_1 v_1^2 - n_3 v_3^2 \right) \int_{\alpha+\varphi_1}^{\alpha+\varphi_1 + (\pi - 2\varphi_1)} \sin^2 \varphi d\varphi \\ &\quad \left. + \left(n_2 v_2^2 - n_3 v_3^2 \right) \int_{\alpha+\varphi_1 + (\pi - 2\varphi_1)}^{\pi} \sin^2 \varphi d\varphi \right] = \\ &= \frac{2m}{3\pi} \left[\left(n_1 v_1^2 - n_3 v_3^2 \right) \right. \\ &\quad \left(\frac{\pi}{2} - \varphi_1 + \frac{1}{2} \sin 2\varphi_1 \cos 2\alpha \right) + \\ &\quad + \left(n_2 v_2^2 - n_3 v_3^2 \right) \\ &\quad \left. \left(\varphi_1 - \alpha + \frac{1}{2} \sin 2\alpha \right. \right. \\ &\quad \left. \left. - \frac{1}{2} \sin 2\varphi_1 \cos 2\alpha \right) \right] \end{aligned} \quad (11)$$

此处 $n_1 n_2 n_3 v_1 v_2 v_3$ 分別表示相當於溫度 $T_1 T_2 T_3$ 的分子濃度及其方均根速率，而

$$\phi_1 = \arccos \frac{r_1}{r} \quad (12)$$

为L点对圆筒A所作切线与圆筒B切线之间的夹角(见图6)。

考虑到在超稀薄($h \ll \lambda$)状态下平衡条件为: 在相反方向通过任何小面积的分子数应相等, 因此在AB空间内

$$n_1 v_{a1} = n_2 v_{a2} \quad (13)$$

而在BC空间内

$$n_2 v_{a2} = n_3 v_{a3} \quad (14)$$

此处 $v_{a1} v_{a2} v_{a3}$ 为相当于 $T_1 T_2 T_3$ 的气体分子平均速率。再根据在圆筒两端单位时间内进入的分子数应等于离去的分子数, 因此在AB层的一端有下列条件

$$\frac{1}{4} n_1 v_{a1} + \frac{1}{4} n_2 v_{a2} = \frac{1}{4} n v_a \quad (15)$$

而在BC层的一端有

$$\frac{1}{4} n_2 v_{a2} + \frac{1}{4} n_3 v_{a3} = \frac{1}{4} n v_a \quad (16)$$

再因为

$$\frac{v}{v_a} = \frac{v_1}{v_{a1}} = \frac{v_2}{v_{a2}} = \frac{v_3}{v_{a3}} = \sqrt{\frac{3\pi}{8}} \quad (17)$$

及

$$P = \frac{1}{3} m n v^2 \quad (18)$$

以式(13)至(18)代入式(11), 就可以得到

$$f = \frac{P}{\pi} \left[\left(\sqrt{\frac{T_1}{T}} - \sqrt{\frac{T_3}{T}} \right) \left(\frac{\pi}{2} - \Phi_1 \right. \right. \\ \left. \left. + \frac{1}{2} \sin 2\phi_1 \cos 2\alpha \right) + \right. \\ \left. + \left(\sqrt{\frac{T_2}{T}} - \sqrt{\frac{T_3}{T}} \right) \left(\phi_1 - \alpha + \frac{1}{2} \sin 2\alpha - \right. \right. \\ \left. \left. - \frac{1}{2} \sin 2\phi_1 \cos 2\alpha \right) \right] \quad (19)$$

在ABC各为平行平板时, $\phi_1 = 0$, $\alpha = 0$, 上式化为

$$f = \frac{P}{2} \left(\sqrt{\frac{T_1}{T}} - \sqrt{\frac{T_3}{T}} \right) \quad (20)$$

实际上这就是式(10), 因此极限条件是满足的。

以上的推导中我们假设叶片是非常微小的, 以致成为圆筒B上的一个小点, 但实际上叶片具有一定的宽度, 即叶片上的各点离中心0的距离 r 是不等的, 且叶片上每点的 α 也都不一样, 这样就使数学计算十分复杂。现在采用

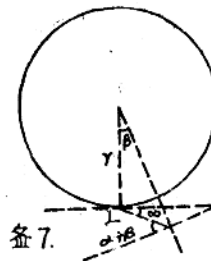


图7.

合理的近似, 令叶片足够小, 以便它在圆筒B中所对应的圆心角为 β 时(见图7)整块叶片所受的力为

$$F = Q \cdot f' \quad (21)$$

此处 Q 为每块叶片 L 的面积, f' 为式(19)中的 r 用 r' 、 α 用 α' 代入的结果, 而 r' 及 α' 有下列关系:

$$\begin{cases} r' = \frac{r \cos \alpha}{\cos(\alpha + \frac{\beta}{2})} \\ \alpha' = \alpha + \frac{\beta}{2} \end{cases} \quad (22)$$

$$(23)$$

于是式(21)可写为:

$$F = Q \cdot \frac{P}{\pi} \left[\left(\sqrt{\frac{T_1}{T}} - \sqrt{\frac{T_3}{T}} \right) \right. \\ \left(\frac{\pi}{2} - \arccos \frac{r_1}{r'} + \frac{\cos 2\alpha'}{2} \right. \\ \left. - \frac{r_1}{r'^2} \sqrt{r'^2 - r_1^2} \right) + \left(\sqrt{\frac{T_2}{T}} - \sqrt{\frac{T_3}{T}} \right) \\ \left(\arccos \frac{r_1}{r'} - \frac{\cos 2\alpha'}{2} - \frac{r_1}{r'^2} \right. \\ \left. \sqrt{r'^2 - r_1^2} + \frac{1}{2} \sin 2\alpha' - \alpha' \right) \left. \right] \quad (24)$$

因为在实际装置中C是外壳，B是薄金属圆筒，且为了力矩能大一些往往做得接近于C，因此可使实验条件近似地满足 $T_2 = T_3 = T$ ，于是式(24)可简化为：

$$\begin{aligned} F &= \frac{QP}{\pi} \left(\sqrt{\frac{T_1}{T_3}} - 1 \right) \left(\frac{\pi}{2} - \arccos \frac{r_1}{r'} + \right. \\ &\quad \left. + \frac{r_1 \cos 2\alpha'}{2r'^2} \sqrt{r'^2 - r_1^2} \right) = \\ &= \frac{QP}{\pi} \left(\sqrt{\frac{T_1}{T_3}} - 1 \right) \left(\arcsin \frac{r_1}{r'} + \right. \\ &\quad \left. + \frac{r_1 \cos 2\alpha'}{2r'^2} \sqrt{r'^2 - r_1^2} \right) \quad (25) \end{aligned}$$

设圆筒B上的叶片共有K块，则作用在这些叶片上的力所产生的总扭轉力矩为

$$KQP \left(\sqrt{\frac{T_1}{T_3}} - 1 \right) \left(\arcsin \frac{r_1}{r'} + \right.$$

$$+ \frac{r_1 \cos 2\alpha'}{2r'^2} \sqrt{r'^2 - r_1^2} \right) r' \sin \alpha'$$

如以 θ 表示笼子的旋转角度，则因为

$$\begin{aligned} t\theta &= \frac{KQP}{\pi} \left(\sqrt{\frac{T_1}{T_3}} - 1 \right) \left(\arcsin \frac{r_1}{r'} + \right. \\ &\quad \left. + \frac{r_1 \cos 2\alpha'}{2r'^2} \sqrt{r'^2 - r_1^2} \right) r' \sin \alpha' \quad (26) \end{aligned}$$

同样从式(3)可知

$$\begin{aligned} \frac{4\pi^2 I \theta}{t^2} &= \frac{KQP}{\pi} \left(\sqrt{\frac{T_1}{T_3}} - 1 \right) \left(\arcsin \frac{r_1}{r'} + \right. \\ &\quad \left. + \frac{r_1 \cos 2\alpha'}{2r'^2} \sqrt{r'^2 - r_1^2} \right) r' \sin \alpha' \quad (27) \end{aligned}$$

或

$$P = \frac{\frac{4\pi^3 I \theta}{KQt^2} \left(\arcsin \frac{r_1}{r'} + \frac{r_1 \cos 2\alpha'}{2r'^2} \sqrt{r'^2 - r_1^2} \right) r' \sin \alpha'}{\left(\sqrt{\frac{T_1}{T_3}} - 1 \right)^{-1}} \quad (28)$$

如用灯及标尺测 θ ，以 x 为透明标尺的读数， l 为标尺到镜面的距离，则

$$P = \frac{\frac{4\pi^3 I x}{KQt^2 lr' \sin \alpha'} \left(\arcsin \frac{r_1}{r'} + \frac{r_1 \cos 2\alpha'}{2r'^2} \sqrt{r'^2 - r_1^2} \right) r' \sin \alpha'}{\left(\sqrt{\frac{T_1}{T_3}} - 1 \right)^{-1}} \text{ 达因/厘米}^2 \quad (29)$$

因此在 P 的单位为毫时，式(7)中的 k 可定为

$$k = \frac{\frac{4\pi^3 I}{KQt^2 r' \sin \alpha'} \left(\arcsin \frac{r_1}{r'} + \frac{r_1 \cos 2\alpha'}{2r'^2} \sqrt{r'^2 - r_1^2} \right)}{\left(\sqrt{\frac{T_1}{T_3}} - 1 \right)^{-1}} \times 0.75 \times 10^{-3} \quad (30)$$

也就是 Klumb-Schwarz 规的灵敏度。由此可将 Klumb-Schwarz 规作为绝对量具。

分并使它等于零，即

$$\frac{d}{d\alpha'} [\sin \alpha' \cos 2\alpha'] = 0 \quad (31)$$

由此得

$$-2 \sin 2\alpha' \sin \alpha' + \cos \alpha' \cos 2\alpha' = 0$$

或

$$(\alpha')_{\text{最佳}} = 24^\circ \quad (32)$$

验证，得

$$\frac{d^2}{d\alpha'^2} [\sin \alpha' \cos 2\alpha'] \Big|_{\alpha' = 24^\circ} =$$

为了求得最佳的 α' ，可将式(30)对 α' 微

$$=(-4 \sin 2\alpha' \cos \alpha' - \\ -5 \cos 2\alpha' \sin \alpha') \Big|_{\alpha'=24^\circ} < 0$$

因此铝箔叶片的最佳斜角为 24° 。

再求最佳的 r' , 将式(30)对 r' 微分并使它等于零, 我们有

$$\frac{d}{dr'} \left[\arcsin \frac{r_1}{r'} + \frac{r_1 \cos 2\alpha'}{2r'^2} \sqrt{r'^2 - r_1^2} \right] = 0 \quad (33)$$

或

$$\arcsin \frac{r_1}{r'} + \frac{r_1 \cos 2\alpha'}{2r'^2} \sqrt{r'^2 - r_1^2} - \\ - \frac{r'}{\sqrt{1 - (\frac{r_1}{r'})^2}} - \frac{r_1}{r'^2} + \\ + \frac{r_1 \cos 2\alpha'}{r'^2} \sqrt{r'^2 - r_1^2} + \\ + \frac{r_1 \cos 2\alpha'}{2\sqrt{r'^2 - r_1^2}} = 0 \quad (34)$$

令

$$y = \frac{r_1}{r'} \quad (35)$$

则式(34)可写为

$$\arcsin y - \frac{y}{\sqrt{1-y^2}} \left[1 - \frac{y^2 \cos 2\alpha'}{2} \right] = 0 \quad (36)$$

以最佳 α' 角即 24° 代入上式, 得

$$\arcsin y - \frac{y}{\sqrt{1-y^2}} \left[1 - \frac{0.67y^2}{2} \right] = 0 \quad (37)$$

由此解得

$$y = 0.45 \quad (38)$$

从式(35)可知

$$r' = \frac{1}{0.45} r_1 = \frac{20}{9} r_1 \quad (39)$$

验证, 得

$$\frac{d}{dy} \left[\arcsin y - \frac{y}{\sqrt{1-y^2}} \right]$$

$$\left. \left(1 - \frac{0.67y^2}{2} \right) \right|_{y=0.45} = \\ = \left[\frac{1}{\sqrt{1-y^2}} + \frac{0.67y^2}{\sqrt{1-y^2}} - \right. \\ \left. - \left(1 - \frac{0.67y^2}{2} \right) \left(\frac{1}{\sqrt{1-y^2}} + \right. \right. \\ \left. \left. + \frac{y^2}{(1-y^2)^{3/2}} \right) \right] \Big|_{y=0.45} < 0$$

因此在 $r':r_1 = 20:9$ 时可得到最佳灵敏度。

四. Klumb-Schwarz 规的量程上下限

式(30)表示 Klumb-Schwarz 规的灵敏度和 r_3 无关, 但这并不意味着圆筒 c 的半径允许选择为任意值。因为在所有推导的原始假定中, 都已经考虑了 $\lambda \gg h$, 当圆筒间的距离 h 变得过大时, 满足这个不等式的入就要随之增大, 因而能量测的压强 p 值就变小。由此可见, Klumb-Schwarz 规的量程上限实际上也决定于 r_3 的值。

Klumb-Schwarz 规的量程下限取决于灵敏度和对机械震动的敏感性, 此外还受到电磁辐射力的限制。已知从温度为 T_1 的板所到达温度为 T_3 的板($T_1 > T_3$)的电磁辐射力为

$$R = \frac{4}{3} \frac{\sigma \varepsilon}{c} (T_1^4 - T_3^4) \text{ 达因/厘米}^2 \quad (40)$$

以处 ε 为辐射表面的发射常数, σ 为 Stefan 常数, c 为光速。表 I 及 II 分别列出了各种温度下在 $\varepsilon = 1$ 及 $\varepsilon = 0.05$ 时 $\frac{R}{R+f}$ 的百分数(f 根据 $f = \pm \frac{p}{2} \left[\sqrt{T_1} - 1 \right]$ 计算)。

从表 I 中可以看出如使用玻璃($\varepsilon = 0.94$)
1) 则在 $P = 10^{-6}$ 毛时电磁辐射力在总力中所占的百分数已超过 20%; 但如选用光亮的铝($\varepsilon = 0.05$) 则从表 II 可知在 $P = 10^{-6}$ 毛时电磁辐射力在总力中仅占 1~2%, 在 $P = 10^{-7}$ 毛时还不超过 20%, 因此选用 ε 很低的材料可以扩展 Klumb-Schwarz 规的量程下限。这种电磁辐射力对 Klumb-Schwarz 规的低压强测定限

表 I

$T_1 = T_3 = 293^\circ\text{K}$, $\epsilon = 1$		
$T_1 - T_3$ ($^\circ\text{K}$)	P (e)	$\frac{R}{R+f}$
10	10^{-6}	19%
	10^{-7}	70%
	10^{-8}	96%
60	10^{-6}	25%
	10^{-7}	76%
	10^{-8}	97%
100	10^{-6}	29%
	10^{-7}	80%
	10^{-8}	98%

表 II

$T_1 = T_3 = 293^\circ\text{K}$, $\epsilon = 0.95$		
$T_1 - T_3$ ($^\circ\text{K}$)	P (e)	$\frac{R}{R+f}$
10	10^{-6}	1%
	10^{-7}	11%
	10^{-8}	54%
60	10^{-6}	2%
	10^{-7}	11%
	10^{-8}	62%

止十分类似于自发 α 射线对热阴极电离真空规的限止。

此外，因为玻璃外壳容易积聚电荷吸住圆筒B，使这种规不能测定含有离子的气体，所以我們建議使用 ϵ 很低的金属材料作为規管外壳进行 $10^{-7} \sim 10^{-8}$ 毫級的低气压絕對測定。

参考文献

- Knudsen; Ann. physik (Leipzig) 31, 633, (1910)
- Knudsen; Ann. physik 32, 809, (1910)
- Todd; phil. Mag. 38, 381, (1919)
- Steckelmacher; Vacuum. 1, 266, (1951)
- Klumb, Schwarz; Z.physik 122, 418, (1944)
- Lockenvitz; Rev. Sci. Instrum. 9, 417 (1938)

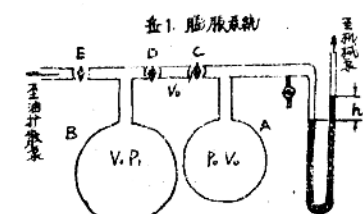
2. 膨脹式低真空計校正系統

金建中 王學博
張希雄 陳立仁 李旺奎

我們設計与制造了一套用来校正皮拉尼热絲真空計的玻璃真空系統。使用經驗證明它能够在 $10^{-3} \sim 1 \text{ mbar}$ 范围内比較准确而快速地对低真空規进行校正。

工作原理：

图1表示系統的主要部份A为一大玻璃瓶(体积为 V_0)預先充以气压为 P_0 (用U形



管油柱高測量)的干燥空气。B亦为一大玻璃

瓶(体积为 V_1)。两瓶之间由一玻璃管及两玻璃活栓(C, D.)连接。CD之间的体积为 v_0 。 V_1 及 v_0 予先用油扩散泵抽空至气压可以忽略。然后关闭D, E两活栓, 这时开启C活栓放入压强为 P_0 的气体, 然后关C并开D, 则 v_0 内的气体即膨胀而充满 v_0 及 V_1 , 经过一些时间使温度恢复到原来室温。(实际上需要时间很少, 可以忽略不管, 因为低压气体数量少, 热容小, 热扩散快平衡快) 则 v_0 及 V_1 内的气体压强应为:

$$P_1^{(1)} = P_0 \frac{v_0}{v_0 + V_1} \dots \quad (1)$$

第二次再重複作：关D，开C，则 v_0 第二次由 V_0 取空气样，如

$$v_0 \ll V_0$$

则取得的气样的压强仍为 P_0 ，再关 C 开 D， V_1 内的气体压强变为：

$$P_1^{(2)} = \frac{P_0}{v_0 + V_1} \left[\left(\frac{V_1}{V_1 + v_0} \right) + 1 \right] \dots \quad (2)$$

如 $v_0 \ll V_1$ 时则式(2)变为

$$P_1^{(2)} = \frac{P_0 v_0 + P_0 \bar{v}_0}{V_1} = P_0 \cdot \frac{2v_0}{V_1} \dots \dots \quad (3)$$

n 次膨胀后的气压应为：

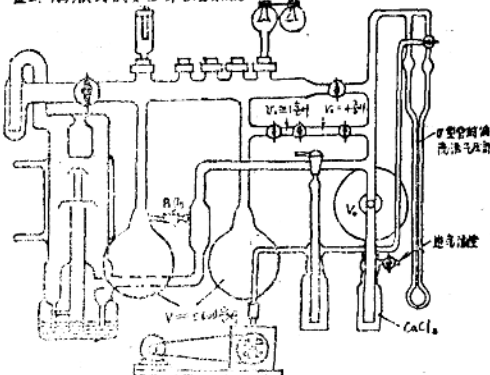
$$P_1^{(n)} = \frac{P_0 v_0}{V_1 + v_0} \left(\left(\frac{V_1}{V_1 + v_0} \right)^{n-1} + \dots + \left(\frac{V_1}{V_1 + v_0} \right)^{n-2} + \dots + 1 \right)$$

如 $v_0 < V_1$ 时

$$P_1^{(n)} = P_0 \cdot \frac{n w_0}{V_0}$$

我們做的系統如圖 2。

2. 膨脹式流量計校正系統



V_0 为3700毫升以上， V_1 为5400毫升以上， v_0 为1毫升及4毫升，用三个活栓隔离开。为了更精确地测量 P_0 ，我們采用油液（变压器油比重为 0.8849g/cm^3 。 20°C 。）的U形管气压計，一端连接低真空。当 V_0 内气压逐渐下降到可以看出差别时，随时放入空气（经过 P_2O_5 的干燥瓶），这时 P_0 即完全由U形管内的油液面高度差来决定。高度差是用一个刻有毫米刻度的鏡面来讀的鏡面的，垂直度可参考旁边的垂綫进行調正。 v_0 与 V_1 亦需要精密地确定。我們用測量灌滿 V_0 的水銀的重量的方法决定 v_0 的体积， V_1 是用測量灌滿 V_1 的水的重量测定的。在校正时附加的热絲真空規的体积要加入前式（1）—（5）中的 V_1 内。

这个方法的相对精确度取决于 P_o , v_o , V_1 及水銀与油的密度之比值四项的相对精确度。体积和密度的决定是比较容易精确的, P_o 的测定取决于 U 形管内液面的高度差测量的精确度, 我们使用时液面差总在 100 毫米以上, 而 U 形管内径为 7 毫米。因此, 毛细管效应带来的相对误差是很少的。目前还没有计算我们系统的实际相对误差的数值, 估计在 1/100 以内。为了简便我们平常使用公式(5)如果要更精确, 我们可以用(4)式。

为了消除V₁内玻璃壁放出的水蒸气設有放P₂O₅的磨口玻璃塞子。

用旋轉式麥氏計檢驗膨脹式校准 系統的準確度的試驗

試驗條件：溫度 18°C ，氣壓 680 mmHg
日期：1962.1.13。

試驗數據：

麥氏計讀數 mmHg	蘇聯 熱電偶讀數 mmHg	系統計算 氣壓 mmHg	備註
2×10^{-3}	2.4×10^{-3}	1×10^{-3}	
4×10^{-3}	6.0×10^{-3}	2×10^{-3}	
5×10^{-3}	9.0×10^{-3}	3×10^{-3}	
6×10^{-3}	1.2×10^{-2}	4×10^{-3}	

因灵敏度太低，改用 $5\mu\text{Hg}$ 放氣進行試驗

1.1×10^{-2}	7×10^{-3}	5×10^{-2}	由人体积V的影响， 使麦氏计读数偏高。
1.7×10^{-2}	1.5×10^{-2}	1×10^{-2}	
2.5×10^{-2}	2.2×10^{-2}	1.5×10^{-2}	
3.0×10^{-2}	2.9×10^{-2}	2.0×10^{-2}	
3.4×10^{-2}	3.5×10^{-2}	2.5×10^{-2}	用挡板消除了中性对 人体积玻璃瓶辐射加热 的影响。
5.0×10^{-2}	5.8×10^{-2}	5.0×10^{-2}	
8.0×10^{-2}	9.0×10^{-2}	7.5×10^{-2}	
1.5×10^{-1}	1.4×10^{-1}	1.5×10^{-1}	
2.5×10^{-1}	2.45×10^{-1}	2.5×10^{-1}	有次放气 $25\mu\text{Hg}$ ， 共放20次，使油柱下降 5.5 mm，使得麦氏计 读数偏低。
4.95×10^{-1}	4.9×10^{-1}	5.0×10^{-1}	
7.3×10^{-1}	以下曲線已 沒有指示。	7.5×10^{-1}	

說明：

1. 旋轉式麥氏真空計是用英國“Vacuetat”的麥氏計。
2. 蘇聯熱電偶的氣壓值系根據BNT-1-II測量線路的校準曲線而獲得。

3. 試驗開始時，每次放氣為 $1\mu\text{Hg}$ ，由於麥氏計的刻度較粗，讀數不易準確，以後採用 $5\mu\text{Hg}$ 放氣作試驗，在 10^{-1} mmHg 數量級時，採用 $50\sim100\mu\text{Hg}$ 的氣壓充入大體積，這樣在麥氏計上較容易讀得準確的讀數。採用這種方式發現麥氏計的讀數在 10^{-1} 數量級與系統的計算氣壓值很接近。

3. 我校電離計之介紹

清華大學

陸家和 馬瑞霖

前 言

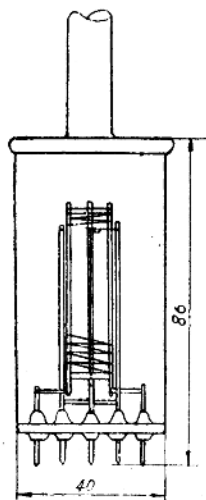
58年以來我校因工作需要曾設計及試制了幾批電離計電源及電離計管，經過試用發現不少問題，也總結了一些經驗，這次試圖對這一工作做一個簡單的介紹，希望得到大家的指正和幫助。這次介紹分五部分，包括電離計管的結構選擇、電離計管的特性和參量、電離計電源的主要設計考慮和性能指標，有關使用的一些問題的討論，和我們電離計存在的問題。

一、電離計管結構的選擇

我校電離計管採用了B-A計結構，這種型式的電離計管結構簡單、易于制作、容易去氣、既可測量一般高真空，也可測量超高真空。為了便于制作，我們的電離計管的另件多半採用制成管的另件。全管結構外形圖和圖1。現將各部結構分述如下。

1 灯絲結構尺寸的选择

我們最初設計的電離計管燈絲仿照 Bayard 和 Alpert 提出的結構⁽¹⁾，用 $\phi 0.13\text{mm}$ 長 90mm 的鎢絲繞成直徑約 3mm 長度約 30mm 的螺旋。這種燈絲在供給 5mA 發射電流時的燈絲電壓約 10V ，燈絲電流約 2A 。假如這種燈絲沒有經過很好地退火，在使用過程中螺旋燈絲常常



伸长及弯曲，有时甚至触及栅极或玻壳。

现用的直线式灯丝完全避免了这缺点。灯丝的上端用一稍粗的钨丝弹簧支住，这样栅阴距可保持固定的数值。由于直线式灯丝长度较短，发射面积较小，如要给出相同的发射电流，灯丝势必要工作在稍高的温度。

现用的灯丝直径0.1mm、长度30mm，这种灯丝在不同工作温度 T_K 下所给出的发射电流 I_e 的灯丝电压 U_f 、灯丝电流 I_f 和理想寿命 τ 的计算值⁽²⁾如表1所示。表中的温度是指灯丝中部的温度。

所谓理想寿命是指灯丝在理想真空条件下由于钨丝蒸发最后中断所需的时间。实际测出的灯丝温度与计算值相差不大于100°C，灯丝电流也与计算值很接近，灯丝电压比计算值大较多。

表 1.

T_K °K	2200	2300	2400	2500	2600
I_e^{ma}	0.55	1.90	5.85	16.0	40.5
U_f V	2.51	2.92	3.35	3.81	4.32
I_f A	1.22	1.32	1.42	1.52	1.63
τ 小时	212,000	32,600	6,200	1,300	3.14

在实际工作中，常常由于真空中度较低，例如在 $10^{-3} \sim 10^{-4}$ 毫巴，为给出同样发射电流，灯丝温度需要升高100~200°C，而且当灯丝与活泼性气体（如O₂、H₂O等）接触时常常起化学作用，所形成的化合物易于蒸发，这样就加速了钨的蒸发。根据Leck⁽³⁾的计算，假设空气中有一/五氧气、灯丝直径减至70%时断裂，则寿命 τ' 与空气压强P、灯丝直径 d_K 及氧与钨丝化合几率 β 有如下关系：

$$\tau' = \frac{0.069 d_K}{\beta p} \quad \dots \dots \dots \quad (1)$$

式中 τ' 以小时计， d_K 以[Cm]计，p按[毫巴]计。 β 的数值曾在Langmuir⁽⁴⁾早期实验中测定过， β 值随温度变化比较缓慢，设 $T_K=2400$ °K， $\beta \approx 0.11$ ，对于我们的灯丝，在不同压强（空

气）下的寿命 τ' 如表2所示。

表2. 灯丝寿命与空气压强关系
($T_K=2400$ °K, $\Phi_K=0.1$ mm.)

空气压强 (毫巴)	10^{-6}	10^{-5}	10^{-4}	10^{-3}
寿命 (小时)	6,250	625	62.5	6.25

从表1和表2可以看出，如果电离计发射

(1) R. T. Bayard, D. Alpert, Rev. Sci. Inst. 21 p. 571 (1950)

(2) 计算方法参看查夏夫：电子管的计算与设计

(3) J. H. Leck "Pressure Measurement in Vacuum system" p. 94 (1957)

电流选择 $2 \sim 5 \text{ mA}$ ，我們的灯絲可有几千甚至上万小时的理想寿命，而現在的直線式灯絲的灯絲电压和灯絲电流比旧螺旋式灯絲減少很多（这将大大简化电离計电源的结构），旧螺旋式灯絲虽然工作温度可稍低，有更长的理想寿命，但在低真空的寿命只不过比現用的直線式灯絲长30%左右而已。

2. 楞極和柵陰距

柵極结构尺寸的选择要保證有尽可能大的

灵敏度，但又要保证电离計工作稳定不易发生寄生振盪。B-A型电离計管的灵敏度与柵極直径、柵絲粗細和間距、柵極长度、柵極结构及电离計管的其他结构尺寸有关。比較主要的因素是柵極直径。

我校电离計管的柵極直接采用Гу-50第三柵，它具有椭圆形，它的主要尺寸、柵極工作电压、电离計管灵敏度，与国外已发表的几种典型B-A計管的比較如表3

表3. 我校电离計管和国外 BA 計的柵極尺寸和灵敏度比較表

型号	国别	柵極直径 $\Phi g \text{ mm}$	柵極长度 $l g \text{ mm}$	柵絲直径 $\delta g \text{ mm}$	柵絲間距 $p g \text{ mm}$	柵絲間隙比 $p g / \delta g$	柵陰距离 $d g k \text{ mm}$	柵压 $U g V$	灵敏度 $S \text{ e}^{-1}$	$S/\Phi g$	来源
JM-3K	本校	11*	37	0.1	1.4	14	8	200	8.7	0.79	
WL-5966	美	19	38	0.13	1.58	12.5	2.35	170	10	0.53	(5)
RG-75	美	22		0.64†	4.61	7.25		150	10	0.45	(6)
MIT***	美	25.4	38	0.13	2.54	20	<4	100	50	1.97	(7)
—**	苏	30	50	0.4†				100	30	1	(8)
JM-12	苏	20		0.5†				200	6	0.3	(9)
ECL	日	15	30	0.12	1.5	12.5	<3	155	9.1	0.6	(10)

* 椭圆形，长径13.5mm，短径7.3mm；

** 楞極具有端屏；

*** 楷極具有端屏，并有第二柵；

† 楷極通电加热去气。

对于 BA 电离計來說，只有在柵極圈內产生的正离子才跑向收集極，柵極愈大，电子在柵圈內与气体分子碰撞的几率也愈大，其次，如果柵極的空隙比（柵絲間距对柵絲直径之比）較大，电子可往返几次飞越柵極所包括的空间，这样，电子在柵圈內与气体分子碰撞的几率也愈大。按电离計管灵敏度定义

$$S = \frac{1}{p} \frac{I_+}{I_e} = \frac{1}{p} \frac{eN_+}{eN_e} = \frac{1}{p} \frac{N_+}{N_e} \quad (2)$$

式中 N_e 为每秒从阴極发出的电子数， N_+ 为每秒收集極接收的正离子数，灵敏度 S 的意义可看作是在单位压强下，每个从阴極发出的电子所产生被收集極接收的正离子的数目。故灵敏

度可以和电子在气体中的相对电离系数 E_i 連系如下⁽⁷⁾：

$$S = \beta \cdot \bar{E}_i \cdot \bar{L}_e = \beta \cdot \bar{E}_i \cdot n \cdot \Phi_g \quad \dots \dots \quad (3)$$

式中 \bar{E}_i 是电子在柵圈內相对电离系数的平均值，
 \bar{L}_e 是电子在柵圈內走过的平均距离，
 $\bar{L}_e =$

(4) I. Langmuir J. Amer. Chem. Soc. 37 p.417

(5) G.J. Schulz, J.A.P., 1957, 10月, P1149

(6) J.L. Peters, Vacuum Symp. Trans 1955, P71

(7) W.B. Nottingham, Vacuum Symp. Trans 1954 P76

(8) В. М. Гаприлов, Я. М. Кучеров П. Т. З. 1959, №2, P195

(9) А. М. Григорьев, П. Т. З. 1959 №6, P10

(10) 铃田喜次郎, 真空(日) Vol.3 №7 P.240

$= n\phi_g$, ϕ_g 是栅极直径, n 是电子經過栅極空間的平均次数; β 是小于1的系数, 考慮到在栅圈內产生的正离子有一部份从栅極两端跑至玻壳, 不被收集極接受。

E_i 与电子能量有关⁽¹¹⁾, 因此与栅压有关, 然而当电子能量在100~250范围内时, E_i 变化不大于10%; β 与栅極結構及收集極直径有关; n 与栅極空隙比、栅邊杆的直径等有关。 S/ϕ_g 可以衡量电离計栅極結構的合理性。从表3中看出, 我校电离計栅極的直径較小, 灵敏度也較小, 但它具有較大的 S/ϕ_g , 可能因为栅極的空隙比較大, 栅極相对較長及收集極直径用得較粗, 比較有效地吸收正离子。

栅阴距的选择应考慮电离計管灯絲工作在溫度饱和情况下, 这样当栅極电压改变时发射基本上不变。选用小的栅阴距可以在相同玻壳直径下使栅極直径做得大一些, 然而小的栅阴距可能造成較大的參量另散, 因此在我們条件下选择了較大的栅阴距, 而这时栅極电流約等

于空間电荷飽和电流的1/6, 即充分保証灯絲工作在溫度饱和情况下。

3. 槽板去气所需功率

我們所用的栅極是由鎳邊杆, 鎳加固腰帶

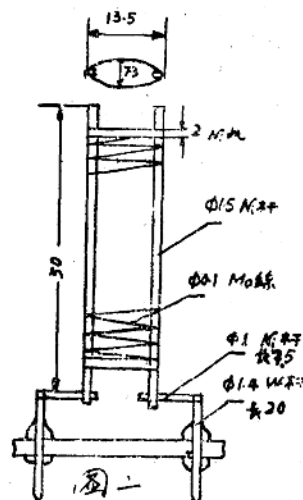


表4. 栅极散热功率計算結果

栅极溫度 °K	900	1000	1100	1200	1300
栅极溫度 °C	630	730	830	930	1,030
鎳单位面积辐射 W/Cm ²	0.43	0.77	1.20	2.00	3.23
鉬单位面积辐射 W/Cm ²	0.30	0.55	0.90	1.35	2.20
鎳辐射面积 Cm ²	5.06*	5.06*	6.27**	6.27**	6.27**
鉬辐射面积 Cm ²	2.66	2.66	2.66	2.66	2.66
总热导 瓦/度	$4.85 \times 10^{-3}+$	$4.85 \times 10^{-3}+$	$6.8 \times 10^{-3}++$	$6.8 \times 10^{-3}++$	$6.8 \times 10^{-3}++$
鎳辐射功率 瓦	2.18	2.78	7.53	12.5	20.3
鉬辐射功率 瓦	0.81	1.46	2.40	3.60	5.85
热传导功率 瓦	2.91	3.38	5.44	6.12	6.80
总散热功率 瓦	5.90	7.62	15.4	22.2	33

* 槽邊杆輻射面積按 $1/2$ 計算;

** 槽邊杆輻射面積按 $2/3$ 計算;

+ 槽邊杆熱導按 $1/2$ 長度計算;

++ 槽邊杆熱導按 $1/4$ 長度計算。

和鉬絲做成。 M_o 絲原含氣量少, 且直徑較細, 容易去氣。故只要考慮鎳邊杆的出氣就够了。

(11) A. Эирель, М. Штепбек "Физика и техника электронического разряда в газах" том I, Р.

41 4935

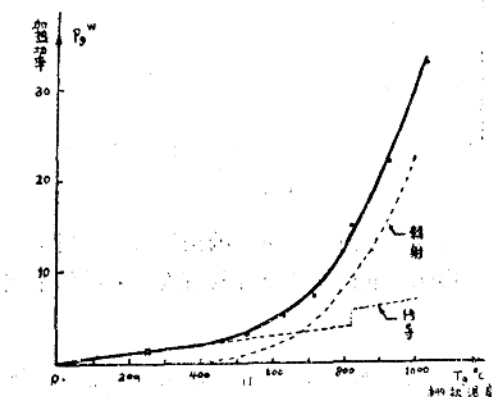
(12) Smythel, Proc. Roy. Soc. 1936, 155 P195

(13) R. H. Collins, J. C. Tumball, Proc of 5th U. S. National Conference Advances in Electron Tube Technique 1961 P. 191

一般鎳的去气溫度大約 900°C ，按 Smyth el⁽¹²⁾實驗結果， $\phi 1\text{ mm}$ 鎳絲在該溫度下去气 10 分鐘左右即可去除大部份表面吸附的气体及一部份溶解在体积中的气体，然而如果由于条件关系去气功率不足，把棚極加热到 $550 \sim 700^{\circ}\text{C}$ 亦有一定的去气作用⁽¹³⁾。

棚極加热到不同溫度所需的加热功率可計算如下：在热平衡时加热棚極的功率等于棚極散热功率，棚極散热借輻射和邊杆引綫的热传导。在高溫下前者占主要部份，在較低的溫度下，由于我們用平底芯柱，引綫又粗又短，热传导是不可忽略的。在實驗中觀察到，當用 20^{w} 轟击棚極時，大約有 $1/4$ 棚極長度的區域其溫度是較低的（冷端），可以推想，在較低的溫度下將有更長的“冷端”。棚極的尺寸如圖 2，具粗略的热計算結果如表 4。表 4 中棚極溫度是指主要部份（或棚極上半部）的溫度。計算時認為當棚極溫度大于 830°C 時棚邊杆有 $3/4$ 長度輻射熱量，棚邊杆熱導按 $1/4$ 長度計算。當棚極溫度低于 830°C 時，設棚邊杆以 $1/2$ 長度輻射熱量，棚邊杆熱導按 $1/2$ 長度計算。表 4 的結果畫在圖 3 上。從圖上可以看出，為把棚極加热到 900°C 約需 20^{w} 功率。如用 $6 \sim 7^{\text{w}}$ 加热棚極，則溫度可達 $600 \sim 700^{\circ}\text{C}$ 。

利用上述方法還可以估算棚極在正常工作情況下的溫度。這對估計棚極在正常工作下的出气速率是有用的。在正常工作條件下，電子給予棚極的功率為 $200^{\text{v}} \times 2^{\text{ma}} = 0.4^{\text{w}}$ ，棚極對燈絲張的立體角約 1.77 ，設燈絲總輻射功率為



5^{w} ，則棚極接受燈絲的輻射功率為 $\frac{1.77}{4\pi} \times 5 = 0.7^{\text{w}}$ 。棚極接受的總功率為 1.1^{w} 。設棚極熱導為 $4.85 \times 10^{-3}^{\text{w}}/\text{度}$ ，這時熱輻射可忽略，算出棚極溫度比室溫高 227°C ，即棚極溫度約 250°C 。

4 收集板

收集板用金屬絲可使棚極發出的軟 X 射線在它上面引起的光電流大大減少，從而提高電離計管所能測量的極限真空。收集板光電流減少的倍數等於收集板對棚極所張立體角減少的倍數。由於我們電離計管原來只為測一般高真空，收集板沒有採用細金屬絲，用了 $\phi 1\text{ mm}$ 的鎳絲，因此立體角比一般 B-A 計收集板大 $10 \sim 20$ 倍，殘余光電流所相當的極限真空約 10^{-9} m ，如容許殘余光電流占離子流的 5% ，則本電離計管可正確測量 5×10^{-8} m 真空度。

5 电离計导管直径选择

电离計导管直径的选择應从电离計出气或吸气速率出发，使得气体流經导管时的压强差在电离計工作范围内不显著地影响电离計的讀数。根据不同作者的报导⁽¹⁴⁾，电离計吸气抽速在 $0.001 \sim 0.3$ 升/秒的范围内，在我們實驗中电离計抽速亦在此范围内（見第四部份），抽速和使用的压强范围及事先去气的情况等有关。在 $10^{-3} \sim 10^{-4}$ m ，抽速較小，在高真空，抽速較大。由於电离計管的吸气作用，其吸气速率

$$Q = Sp = C(p' - p) = C \Delta p \dots\dots\dots (4)$$

式中 S 为电离計抽速， p 是电离計管内压强， p' 是系統压强， C 是电离計导管的管导，从 (4) 得出

$$\frac{\Delta p}{p} = \frac{S}{C} \dots\dots\dots (5)$$

(14) N. A. Florescu, Advances in Vacuum Science & Technology Proc 1st International Cong. (1958) Vol. I, p. 367

如果要求电离計讀數誤差 $\frac{\Delta p}{p} < 10\%$, 則 $c \geq 10S$
如 $S = 0.2$ 升/秒, 則 $c \geq 2$ 升/秒。

當考慮電離計出氣影響時, 須對電離計出氣速率主要是柵極出氣速率作一估算。設柵極表面吸附氣體已基本去除, 柜極出氣主要是由於體積內部氣體向外擴散。對於鎳, 出氣主要是CO (或少量CO₂), 由於CO在鎳中的擴散極慢, 擴散過程可當作半無窮大界面的擴散問題處理。按擴散理論⁽¹⁵⁾, 這時單位時間從單位面積金屬表面放出的氣體量為

$$q = C_0 \left(\frac{D}{\pi t} \right)^{\frac{1}{2}} \dots \dots \dots \quad (6)$$

式中 C_0 為鎳邊杆的起始含氣量, D 是CO在 N_2 中的擴散系數, t 是擴散持續時間。設 $C_0 = 5cc$ (標準態) / $100g = 5 \times 760 \text{ ml}/100g = 38l\mu/g = 3.35 \times 10^2 l\mu/C_m^3$

設柵極工作在 300°C , 這時 $D = 1.5 \times 10^{-15} C_m^2/\text{秒}$ ⁽¹²⁾, 如开机後10分鐘讀數, 則 $t = 600$ 秒, 于是 $q = 3 \times 10^{-7} l\mu/\text{sec} \cdot C_m^2$, 柜邊杆面積共 $4.8C_m^2$, 故柵極在正常工作時的出氣速率 $Q' = 4.8q = 1.44 \times 10^{-6} l\mu/S$, 出氣速率隨時間的平方根而下降。考慮到電離計柵極經過例常去氣後, 仍有部分表面吸附氣體繼續放出, 并考慮到柵極正常工作溫度的估計的不準確性, 可以認為柵極出氣速率在 $10^{-5} \sim 10^{-6} l\mu/S$ 左右 (參看第四部分), 這樣, 出氣速率

$$Q' = C(p - p') = C\Delta p \dots \dots \dots \quad (7)$$

或

$$\Delta p = \frac{Q'}{C} \dots \dots \dots \quad (8)$$

柵極出氣主要決定於柵極處理及工作溫度。據此, 在低真空情況下出氣影響不顯著, 在高真空情況下影響顯著。如電離計導管的管導為2升/秒, 則

$$\Delta p = \frac{Q'}{C} = \frac{10^{-5} l\mu}{2 \frac{l}{s}} = 5 \times 10^{-9} \text{ ml}$$

對於

-14-

$$p = 10^{-6} \text{ ml} \frac{\Delta p}{p} = 0.5\%,$$

$$p = 10^{-7} \text{ ml} \frac{\Delta p}{p} = 5\%,$$

$$p = 10^{-8} \text{ ml} \frac{\Delta p}{p} = 50\%.$$

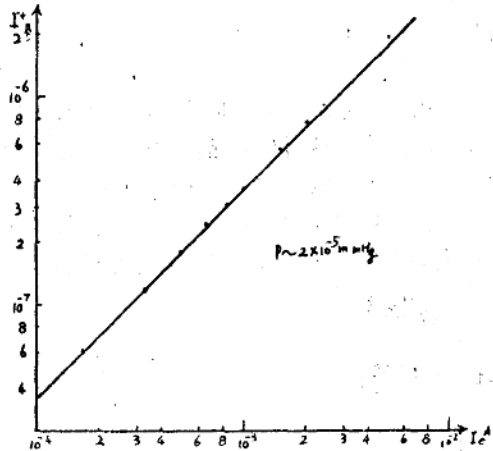
綜合以上考慮, 選擇導管內徑 $\phi 12mm$, 导管長度 $100mm$, 則 $c = 2.16$ 升/秒, 這樣的導管, 在一般場合下, 由於電離計出氣及吸氣作用所引起的測量誤差將小於 5%。如採用很細的導管, 管導所引起的誤差是很嚴重的 (參看第四部份)。

二、電離計管的特性和參量

我校電離計管的電特性、電離計管靈敏度的測定方法和結果、靈敏度另散的測定方法和結果分述如下:

1. 電離計管的電特性

電離計管的 $I_+ \sim I_e$ 關係、 $I_+ \sim U_g$ 關係、 $I_+ \sim U_c$ 關係如圖 (4)、(5)、(6) 所示。在求



圖四

前面兩個關係時, 電離計的出氣與吸氣對實驗很有影響, 我們實驗是在具有人工漏孔的系統

(15) W. Jost "Diffusion in Solid, liquid and gases"
1952, p. 22